

第6章 连续小波变换

- 小波及连续小波变换
- 常用的基本小波
- 时频分析
- 连续小波变换的计算
- 小波变换的分类

目的

- 熟悉连续小波变换的定义
- 深入理解小波时频分析思想和方法

小波及连续小波变换

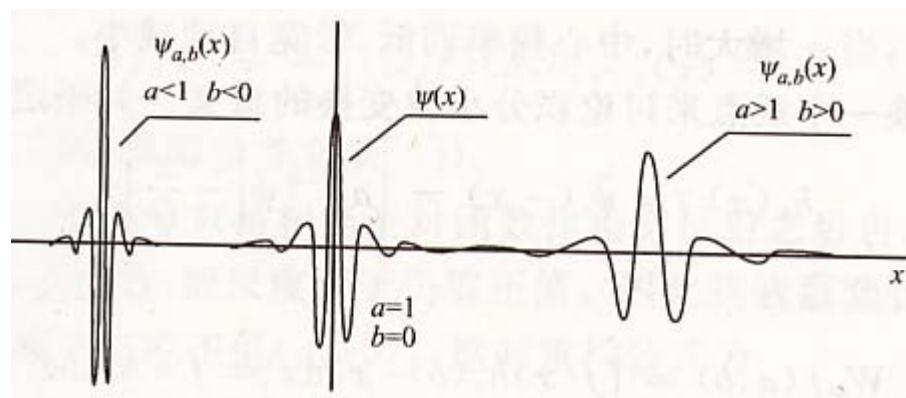
设函数 $\psi(t) \in L^1(\mathbb{R}) \cap L^2(\mathbb{R})$ ，并且 $\hat{\psi}(0) = 0$ ，即 $\int_{-\infty}^{+\infty} \psi(t) dt = 0$ ，则称 $\psi(t)$ 为一个基本小波或母小波。

$$\psi_{a,b}(t) = \frac{1}{\sqrt{|a|}} \psi\left(\frac{t-b}{a}\right) \quad a, b \in \mathbb{R} \quad a \neq 0$$

↖
(连续)小波函数

a和**b**的意义

$$\|\psi_{a,b}(t)\|_2 = \|\psi(t)\|_2$$



$$WT_f(a,b) = \frac{1}{\sqrt{|a|}} \int_{-\infty}^{+\infty} f(t) \psi^* \left(\frac{t-b}{a} \right) dt = \langle f, \psi_{a,b} \rangle \longleftarrow \text{连续小波变换}$$

$$WT_f(a,b) = \frac{1}{\sqrt{|a|}} \int_{-\infty}^{+\infty} f(t) \psi^* \left(\frac{t-b}{a} \right) dt = |a|^{1/2} f * \bar{\psi}_{|a|}(b)$$

性质:

线性性质

平移不变性

$$\bar{\psi}_{|a|}(t) = |a|^{-1} \psi^* (-t/a)$$

.....

在实际工程应用中,常假设 **a>0**.

$$\text{连续卷积的定义: } (h * f)(t) = \int_{-\infty}^{+\infty} h(u) f(t-u) du = \int_{-\infty}^{+\infty} f(u) h(t-u) du$$

小波分析:

小波滤波:

尺度与频率:

注意: 在连续小波变换的情况下,没有要求小波有相应的尺度函数.

设函数 $\psi(t) \in L^1(R) \cap L^2(R)$, 若

$$c_\psi = \int_{-\infty}^{+\infty} \frac{|\hat{\psi}(\omega)|^2}{|\omega|} d\omega < +\infty$$

则称 $\psi(t)$ 为一个允许小波。

允许条件等价于: $\hat{\psi}(0) = 0$ (波动性), 与

$$|\psi(t)| \leq c(1+|t|)^{-1-\varepsilon}, \varepsilon > 0 \quad (\text{衰减性})$$

允许条件是保证正、逆变换存在的条件。

$$f(t) = \frac{1}{c_\psi} \int_{-\infty}^{+\infty} \int_{-\infty}^{+\infty} \frac{1}{a^2} WT_f(a,b) \psi_{a,b}(t) da db$$

二维连续小波变换与离散小波变换

设 $f(x, y) \in L^2(R^2)$, $\psi(x, y)$ 满足条件

$$\int_{-\infty}^{+\infty} \int_{-\infty}^{+\infty} \psi(x, y) dx dy = 0$$

称积分

$$W_f(a; b_1, b_2) = \int_{-\infty}^{+\infty} \int_{-\infty}^{+\infty} f(x, y) \frac{1}{a} \psi^* \left(\frac{x-b_1}{a}, \frac{y-b_2}{a} \right) dx dy$$

为 $f(x, y)$ 的二维连续小波变换, 称 $\psi(x, y)$ 为二维

基本小波函数。
$$\psi_{a; b_1, b_2}(x, y) = \frac{1}{a} \psi \left(\frac{x-b_1}{a}, \frac{y-b_2}{a} \right)$$

相应的反演公式为

$$f(x, y) = \frac{1}{c_\psi} \int_0^{+\infty} \frac{da}{a^3} \int_{-\infty}^{+\infty} \int_{-\infty}^{+\infty} W_f(a; b_1, b_2) \psi\left(\frac{x-b_1}{a}, \frac{y-b_2}{a}\right) db_1 db_2$$

$$\text{其中, } c_\psi = \frac{1}{4\pi^2} \iint \frac{|\hat{\psi}(\omega_x, \omega_y)|^2}{|\omega_x^2 + \omega_y^2|} d\omega_x d\omega_y$$

当 $a = 2^j$ 时, 得出二进二维连续小波变换:

$$W_f(b_1, b_2) = \int_{-\infty}^{+\infty} \int_{-\infty}^{+\infty} f(x, y) 2^{-j} \psi^*\left(2^{-j}(x-b_1), 2^{-j}(y-b_2)\right) dx dy$$

2009-5-19

当 $a = 2^{-j}, b_1 = al, b_2 = am; l, m \in Z$ 时, 得出二维离散小波变换:

$$W_f(j, l, m) = 2^j \int_{-\infty}^{+\infty} \int_{-\infty}^{+\infty} f(x, y) \psi^*(2^j x - l, 2^j y - m) dx dy$$

如果再把小波函数 $\psi(x, y)$ 取为变量可分离的二元函数:

$$\psi(x, y) = \psi^1(x) \psi^2(y)$$

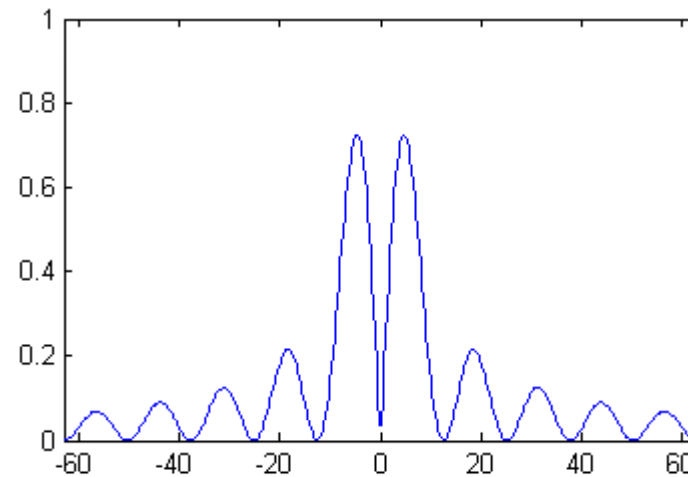
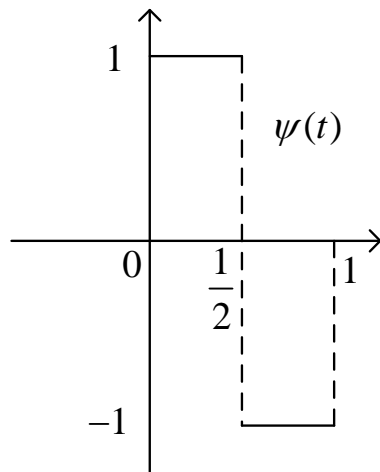
它可以通过一维多分辨分析得出二维多分辨分析。

附注: 有更一般的二维连续小波变换的定义, 它在尺度可伸缩的同时还可以旋转。

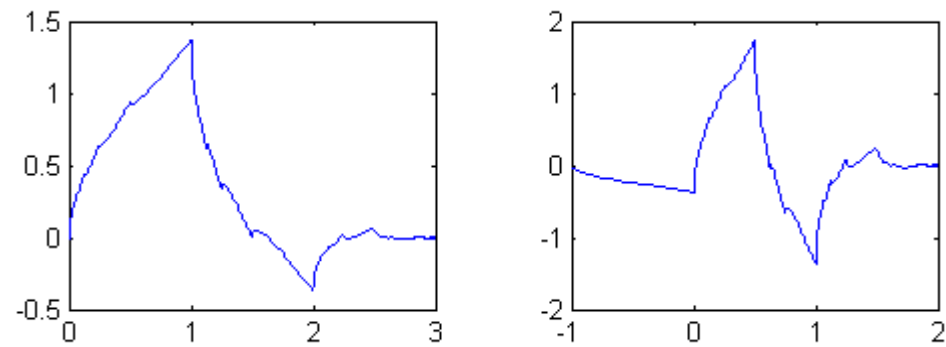
常用的基本小波

1. Haar小波

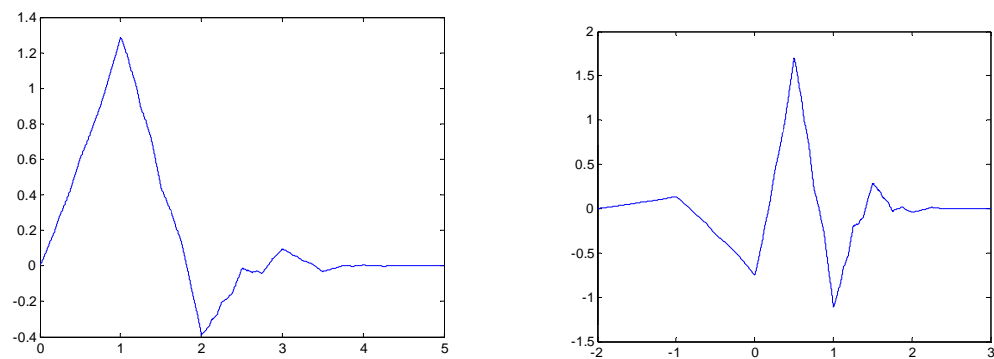
$$\psi(t) = \begin{cases} 1 & 0 \leq t < 1/2 \\ -1 & 1/2 \leq t < 1 \\ 0 & \text{其它} \end{cases} \quad \hat{\psi}(\omega) = i \frac{4}{\omega} e^{-i\omega/2} \sin^2(\omega/4)$$



2. Daubechies小波



D4尺度函数与小波



D6尺度函数与小波

3、双正交小波

双正交**B**样条小波（5-3）、（9-7）小波滤波器 bior2.2, bior4.4

（7-5）小波滤波器:

$$\left\{ \begin{array}{l} p_0 = \frac{4q_2 - 3}{8q_2 - 2} \\ p_1 = \frac{4q_2^2 + 5q_2 - 1}{8q_2 - 2} \\ p_2 = \frac{4q_2 + 1}{16q_2 - 4} \\ p_3 = \frac{4q_2^2 + q_2}{2 - 8q_2} \\ q_0 = 1 - 2q_2 \\ q_1 = \frac{1}{2} \\ p_n = \sqrt{2} \tilde{h}_n, q_n = \sqrt{2} h_n \end{array} \right.$$

$$h = \frac{1}{\sqrt{2}} \left\{ \frac{1}{8}, \frac{1}{2}, \frac{3}{4}, \frac{1}{2}, \frac{1}{8} \right\}$$

$$\tilde{h} = \frac{1}{\sqrt{2}} \left\{ \frac{3}{16}, -\frac{3}{4}, \frac{5}{16}, \frac{5}{2}, \frac{5}{16}, -\frac{3}{4}, \frac{3}{16} \right\}$$

常用于图形学中。其中尺度函数是一个三次**B**样条。

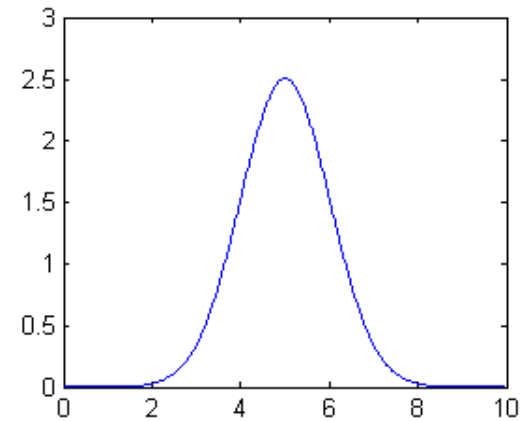
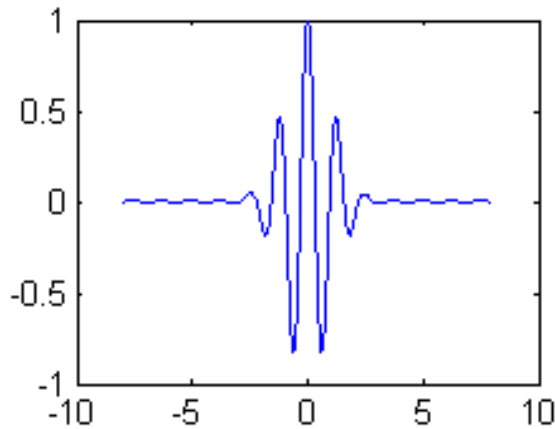
Bior2.4

双正交小波解决了线性相位和正交性要求的矛盾。

4. Morlet小波

$$\psi(t) = e^{-t^2/2} e^{i\omega_0 t}$$

$$\hat{\psi}(\omega) = \sqrt{2\pi} e^{-(\omega - \omega_0)^2/2}$$



Morlet小波不存在尺度函数; 快速衰减但非紧支撑.

在Matlab中, morlet 小波的定义为

$$\psi(t) = e^{-t^2/2} \cos 5t$$

问 $\hat{\psi}(\omega) = ?$


Morlet小波

Morlet小波是**Gabor**小波的特例。

$$g(t) = \frac{1}{(\sigma^2 \pi)^{1/4}} e^{-\frac{t^2}{2\sigma^2}}$$

$$\psi(t) = g(t) e^{i\eta t}$$

$\sigma = 1, \eta = 5$

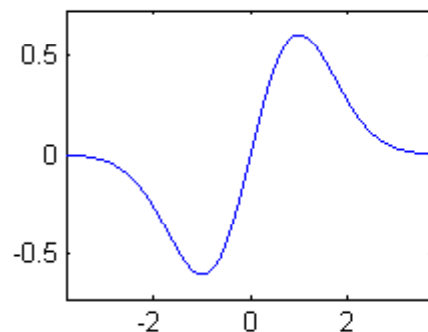
Gabor 小波  **Morlet**小波

请问二维**Gabor**小波的定义是什么？画出其图形。

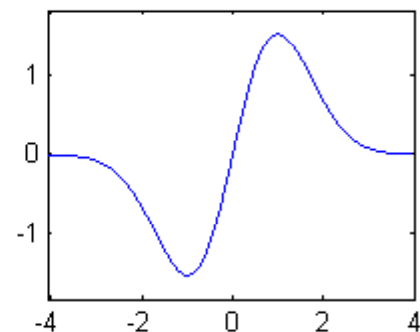
5. 高斯小波

$$\psi(t) = -\frac{1}{\sqrt{2\pi}} t e^{-t^2/2}$$

$$\hat{\psi}(\omega) = i\omega e^{-\omega^2/2}$$



$-\psi(t)$



$\hat{\psi}(\omega)$

特性： 指数级衰减，非紧支撑；具有非常好的时间频率局部化；
关于**0**点反对称。

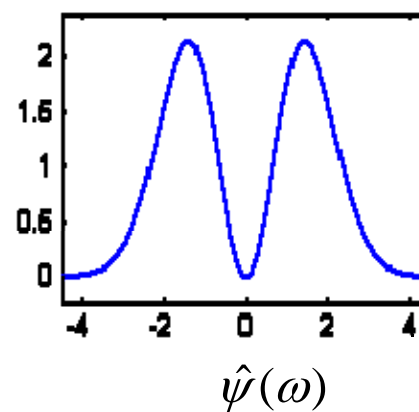
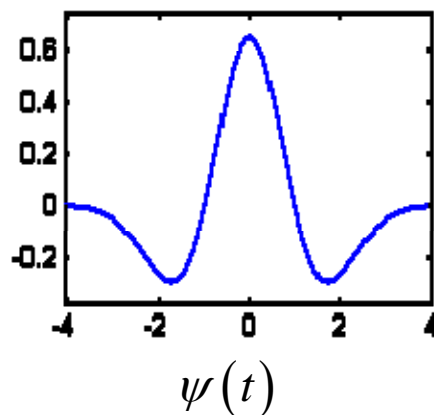
这是高斯函数的一阶导数，在信号与图像的边缘提取中具有重要的应用。

主要应用于阶梯型边界的提取。

请问二维高斯小波的定义是什么？画出其图形。

6. Marr小波（也叫墨西哥草帽小波）

$$\psi(t) = \frac{2}{\sqrt{3}\sqrt{\pi}}(1-t^2)e^{-t^2/2} \quad \hat{\psi}(\omega) = \frac{2\sqrt{2}\sqrt[4]{\pi}}{\sqrt{3}}\omega^2 e^{-\omega^2/2}$$



特性： 指数级衰减，非紧支撑；具有非常好的时间频率局部化；

关于**0**点对称。

这是高斯函数的二阶导数，在信号与图像的边缘提取中具有重要的应用。

主要应用于屋脊型边界和**Dirac**边缘的提取。

请问二维**Marr小波**(2D Mexican Hat Wavelet , 2D Marr wavelets)
的定义是什么？画出其图形。

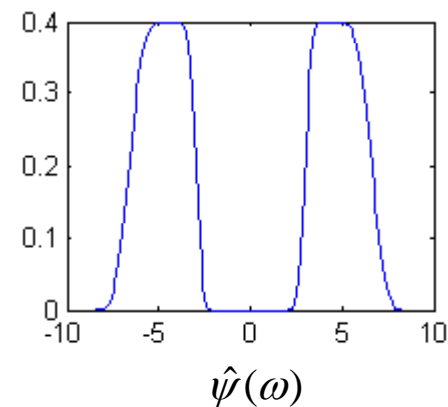
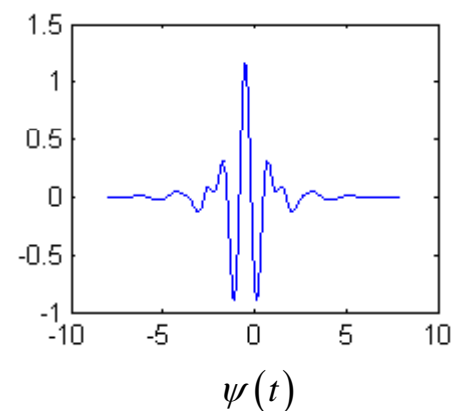
7. Meyer小波

它的小波函数与尺度函数都是在频域中进行定义的。具体定义如下：

$$\hat{\psi}(\omega) = (2\pi)^{-\frac{1}{2}} e^{i\frac{\omega}{2}} \begin{cases} \sin\left(\frac{\pi}{2} v\left(\frac{3}{2\pi}|\omega| - 1\right)\right) & \frac{2\pi}{3} \leq |\omega| \leq \frac{4\pi}{3} \\ \cos\left(\frac{\pi}{2} v\left(\frac{3}{4\pi}|\omega| - 1\right)\right) & \frac{4\pi}{3} \leq |\omega| \leq \frac{8\pi}{3} \\ 0 & |\omega| \notin \left[\frac{2\pi}{3}, \frac{8\pi}{3}\right] \end{cases}$$

$$v(t) = t^4 (35 - 84t + 70t^2 - 20t^3) \quad t \in [0, 1]$$

$$\hat{\phi}(\omega) = \begin{cases} (2\pi)^{-\frac{1}{2}} & |\omega| \leq \frac{2\pi}{3} \\ (2\pi)^{-\frac{1}{2}} \cos\left(\frac{\pi}{2} v\left(\frac{3}{2\pi}|\omega| - 1\right)\right) & \frac{2\pi}{3} \leq |\omega| \leq \frac{4\pi}{3} \\ 0 & |\omega| > \frac{4\pi}{3} \end{cases}$$



Dmeyer小波

Dmeyer小波即离散的Meyer小波，它是Meyer小波基于FIR的近似，用于快速离散小波变换。

Waveinfo('dmey')

DMEYINFO Information on "Discrete" Meyer wavelet.

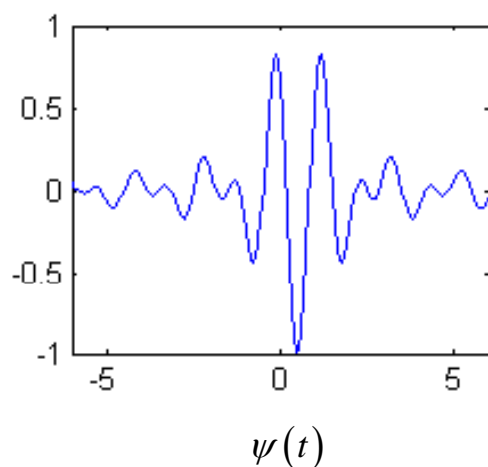
"Discrete" Meyer Wavelet

Definition: FIR based approximation of the Meyer Wavelet.

Family	DMeyer
Short name	dmey
Orthogonal	yes
Biorthogonal	yes
Compact support	yes
DWT	possible
CWT	possible

8. Shannon小波

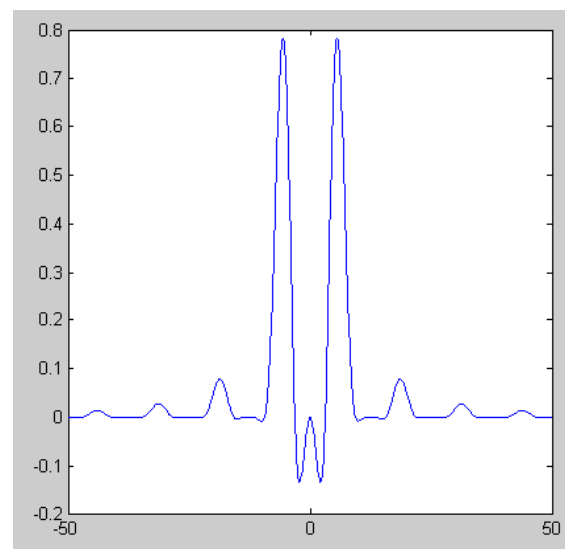
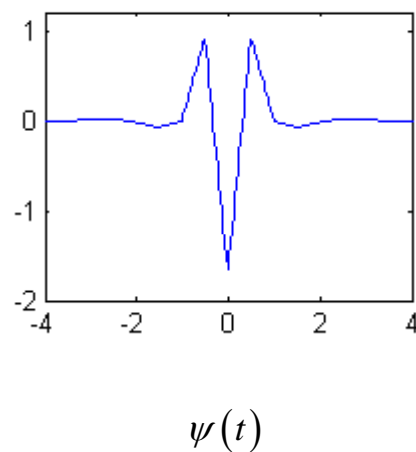
$$\psi(t) = \frac{\sin \pi(t-1/2) - \sin 2\pi(t-1/2)}{\pi(t-1/2)} \quad \hat{\psi}(\omega) = e^{-i\omega/2} \begin{cases} 1, & \pi < |\omega| < 2\pi \\ 0, & \text{其它} \end{cases}$$



在时域，**Shannon**小波是无限次可微的，具有无穷阶消失矩，不是紧支的，具有渐近衰减性但较缓慢；在频域，**Shannon**小波是频率带限函数，具有好的局部化特性。

9. Battle-Lemarie样条小波

$$\begin{aligned}\hat{\psi}(\omega) &= \frac{1}{\sqrt{2}} \hat{g}\left(\frac{\omega}{2}\right) \hat{\phi}\left(\frac{\omega}{2}\right) \\ &= -\frac{16e^{-i\frac{\omega}{2}}}{\omega^2} \sin^4 \frac{\omega}{4} \sqrt{\frac{1 + 2\sin^2 \frac{\omega}{4}}{\left(1 - \frac{2}{3}\sin^2 \frac{\omega}{4}\right) \left(3 - 8\sin^2 \frac{\omega}{4} + 8\sin^4 \frac{\omega}{4}\right)}}\end{aligned}$$



Battle-Lemarie线性样条小波及其频域函数的图形

Battle-Lemarie线性样条小波（频率图绘制程序）

```
w=linspace(-20,20,2^10);  
WF = (sin(w/2)./(w/2)).^2./sqrt(1-2/3*(sin(w/2)).^2);  
subplot(121);  
plot(w,WF)
```

```
w=linspace(-50,50,2^10);  
Wav = real(-16./w./w.*(sin(w./4)).^4.*sqrt((1+2.*(sin(w./4)).^2./(1-  
2./3.*(sin(w./4)).^2)./(3-8.*(sin(w./4)).^2+8.*(sin(w./4)).^4))).*exp(-1./2.*i.*w));  
subplot(122)  
plot(w,Wav);
```

Battle-Lemarie线性样条小波（绘制程序）

```
function Wav = AF1(w,t0)
t=-t0:0.01:t0;
if(w==0)
    Wav = 1;
else Wav = -16./w./w.*(sin(w./4))^4.*sqrt((1+2.*(sin(w./4))^2./(1-
2./3.*(sin(w./4))^2)./(3-8.*(sin(w./4))^2+8.*(sin(w./4))^4))).*exp(i.*w.*t)./2./pi;
end
subplot(1,2,1);
Ingegl1 = quadv(@(w)AF1(w,4),-450,450);
plot([-4:0.01:4],Ingegl1);
```

10. 二进样条小波

在第7章介绍。

11. Symlet (symN)小波

Symlet小波函数是Daubechies提出的近似对称的小波函数，它是对db函数的一种改进。Symlets小波系通常表示为symN ($N=2, 3, \dots, 8$)

12. Coiflet (coifN)小波

根据R. Coifman的要求，Daubechies构造了Coiflet小波，它具有CoifN ($N=1, 2, 3, 4, 5$)这一系列。Coiflet的小波函数的 $2N$ 阶矩为零，尺度函数的 $2N-1$ 阶矩为零。其小波函数与尺度函数的支撑长度为 $6N-1$ ，具有比dbN更好的对称性。

wavemngr('read')

• Haar	haar
• Daubechies	db
• Symlets	sym
• Coiflets	coif
• BiorSplines	bior
• ReverseBior	rbio
• Meyer	meyr
• DMeyer	dmey
• Gaussian	gaus
• Mexican_hat	mexh
• Morlet	morl
• Complex Gaussian	cgau
• Shannon	shan
• Frequency B-Spline	fbsp
• Complex Morlet	cmor

时频分析

1. Fourier分析简介

$$\hat{f}(\omega) = \int_{-\infty}^{+\infty} f(t) e^{-i\omega t} dt \quad f(t) = \frac{1}{2\pi} \int_{-\infty}^{+\infty} \hat{f}(\omega) e^{i\omega t} d\omega$$

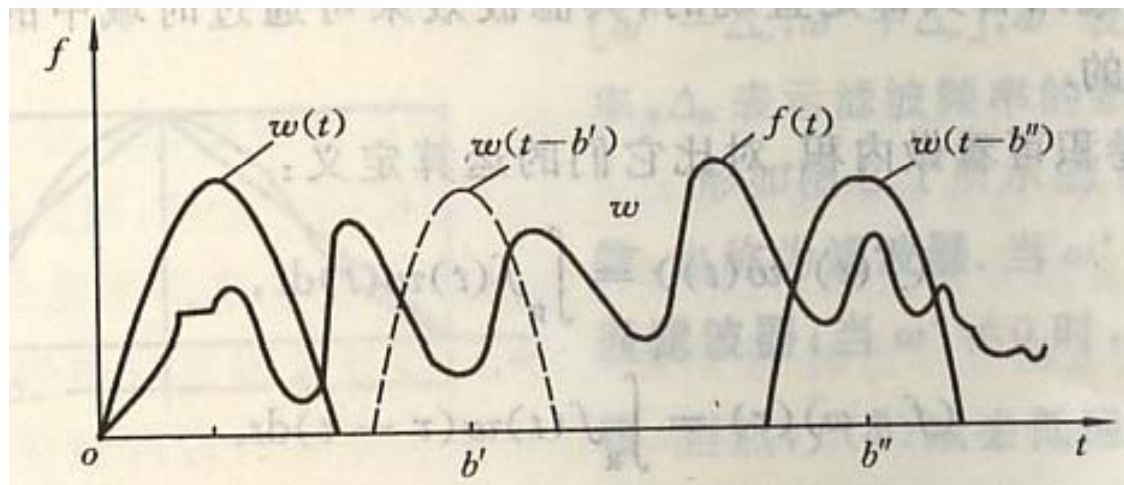
无论在时域或是在频域,**Fourier**变换都是定义在 \mathbf{R} 上。因此, **Fourier**变换不能分析局部时域信号的局部频谱特性,也不能分析某频段的频谱对应的时域表现.

时-频局部分析的需要

人们在分析信号时,常需要对信号先作时域局部化处理,例如按要求分段,再做频域分析;也常常需要对信号先作频域局部化处理,例如低频分离处理、频带分离处理和高频分离处理,再用频域信号的改变来获得所需的时域信号;还有,希望时域和频域都能做出时-频局部化处理,以建立局部时域信号和局部频域信号的对应关系。

2. 短时Fourier变换

短时Fourier变换的基本思想是：把信号划分成许多小的时间间隔，用Fourier变换分析每个时间间隔内的信号，以便确定在该时间间隔内的频谱信息。



窗口函数的定义

非平凡函数 $w \in L^2(R)$ 称为窗函数, 如果 $tw(t) \in L^2(R)$

$$N_1(t) = \begin{cases} 1 & 0 \leq t \leq 1 \\ 0 & \text{其它值} \end{cases} \quad \psi_H(t) = \begin{cases} 1 & 0 \leq t < 1/2 \\ -1 & 1/2 \leq t < 1 \\ 0 & \text{其它} \end{cases}$$

$$N_2(t) = \begin{cases} t & \text{对 } 0 \leq t \leq 1 \\ 2-t & \text{对 } 1 < t \leq 2 \\ 0 & \text{其它} \end{cases} \quad g_a(t) = \frac{1}{2\sqrt{a\pi}} e^{-\frac{t^2}{4a}} \quad a > 0$$

可以证明: 要使

$$\int_R t^2 |w(t)|^2 dt < +\infty$$

当 $|t| \rightarrow +\infty$ 时, $|w(t)|$ 的衰减速度应比 $1/|t|^{3/2}$ 快。

窗函数的开窗效果可用它的中心与半径来表示。

窗口中心可仿照力学中关于重心的描述定义：

$$t^* = \frac{1}{\|w\|_2^2} \int_{-\infty}^{+\infty} t |w(t)|^2 dt$$

窗口半径可仿照力学中求矩量的方法来定义：

$$\Delta_w = \frac{1}{\|w\|_2} \left\{ \int_{-\infty}^{+\infty} (t - t^*)^2 |w(t)|^2 dt \right\}^{1/2}$$

通常我们用 $2\Delta_w$ 作为窗函数 w 宽度的度量。

有关性质参考教材P166~167：

窗口Fourier变换

窗口Fourier变换: $S_f(\omega, b) = \int_{-\infty}^{+\infty} f(t)g^*(t-b)e^{-i\omega t} dt$

大致反映了 $f(t)$ 在时刻 \mathbf{b} 、频率为 ω 的"信号成分"的相对含量。

在上述定义中，常以时域开窗的数学形式为主来考虑问题的，
也即

$$S_f(\omega, b) = \int_{-\infty}^{+\infty} [f(t)g^*(t-b)]e^{-i\omega t} dt$$

即先将 $f(t)$ 时域局部化为 $f(t)g^*(t-b)$ ，再对开窗后局部

时域信号作Fourier变换。

也可换一个角度观察之，即采用形式：

$$S_f(\omega, b) = \langle f, W_{\omega, b} \rangle = \int_{-\infty}^{+\infty} f(t) W_{\omega, b}^*(t) dt$$

其中， $W_{\omega, b}(t) = e^{i\omega t} g(t - b)$. 这是一种新的思考方式，在

积分变换的意义下，既把 $W_{\omega, b}$ 看成窗函数，又把它看做能对 $f(t)$

在时域和频域都能起限制作用的窗函数。

$S_f(\omega, b)$ 给出了 $f(t)$ 在 $W_{\omega, b}$ 的时间窗 $[t^* + b - \Delta_g, t^* + b + \Delta_g]$

内的局部化信息量。

短时Fourier变换

若 $g(t)$ 及其Fourier变换 $\hat{g}(\omega)$ 都是窗口函数，则称 $S_f(\omega, b)$ 为短时Fourier变换。

这要求，

当 $|t| \rightarrow +\infty$ 时， $|g(t)|$ 的衰减速度应比 $1/|t|^{3/2}$ 快。

当 $|\omega| \rightarrow +\infty$ 时， $|\hat{g}(\omega)|$ 的衰减速度应比 $1/|\omega|^{3/2}$ 快。

记 $\hat{g}(\omega)$ 的窗口中心与半径分别为 ω^* 和 $\Delta_{\hat{g}}$ ，则频窗函数

$$\hat{W}_{\omega, b}(\eta) = e^{-ib(\eta - \omega)} \hat{g}(\eta - \omega)$$

的窗口中心与半径分别为 $\omega^* + \omega$ 和 $\Delta_{\hat{g}}$ 。

$$S_f(\omega, b) = \frac{1}{2\pi} \langle \hat{f}, \hat{W}_{\omega, b} \rangle$$

这表明, $S_f(\omega, b)$ 还给出了 $\hat{f}(\omega)$ 在频域窗 $[\omega^* + \omega - \Delta_{\hat{g}}, \omega^* + \omega + \Delta_{\hat{g}}]$ 中的局部信息。

窗函数的时-频局部化效果的度量应在时域和频域这两方面同时进行为宜, 它的时域局部化被限制在时窗区间 $[t^* + b - \Delta_g, t^* + b + \Delta_g]$ 范围内, 它的频域局部化被限制在频窗区间 $[\omega^* + \omega - \Delta_{\hat{g}}, \omega^* + \omega + \Delta_{\hat{g}}]$ 范围内。于是, 可构建时-频坐标系, 用时窗区间和频窗区间形成一个矩形时-频窗 $[t^* + b - \Delta_g, t^* + b + \Delta_g] \times [\omega^* + \omega - \Delta_{\hat{g}}, \omega^* + \omega + \Delta_{\hat{g}}]$ 。

时-频窗是窗函数的时-频局部化功能的几何直观描述。特别地, 在时窗中心与频窗中心有移动的情况下, 若窗函数固定不变, 则其时窗半径与频窗半径是不变的。而且, 在时频坐标系中, 任意的窗中心 (b, ω)

所在的时频窗面积为 $4\Delta_g \Delta_{\hat{g}}$ 不变。

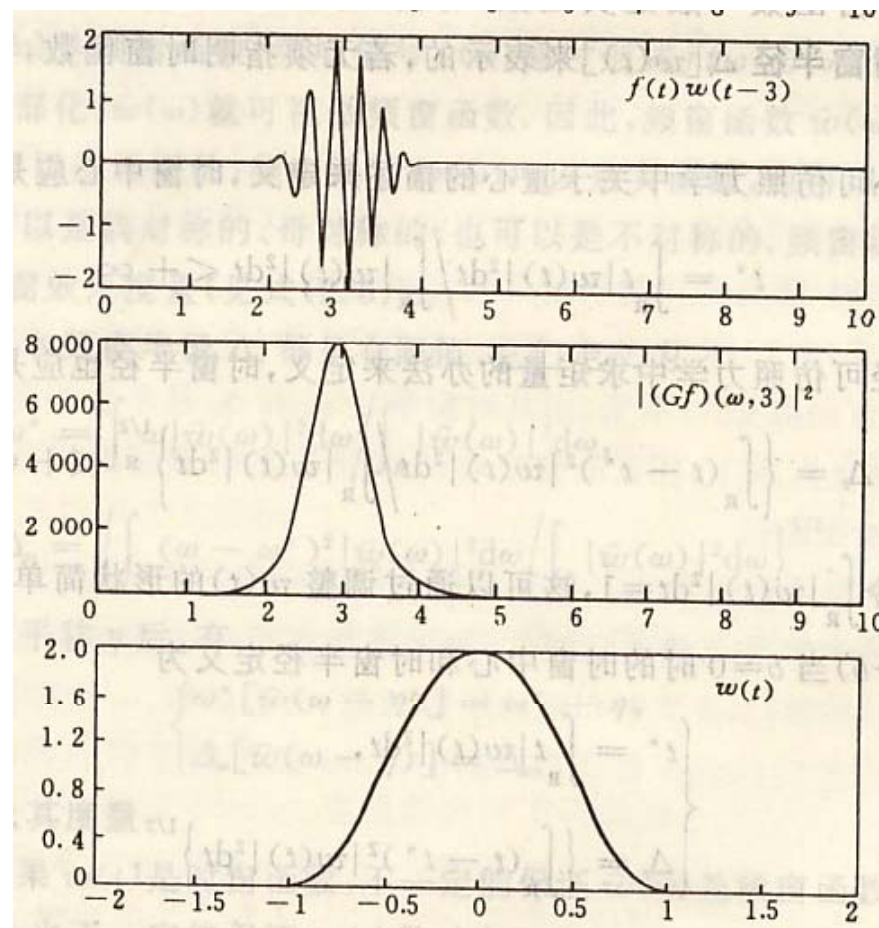
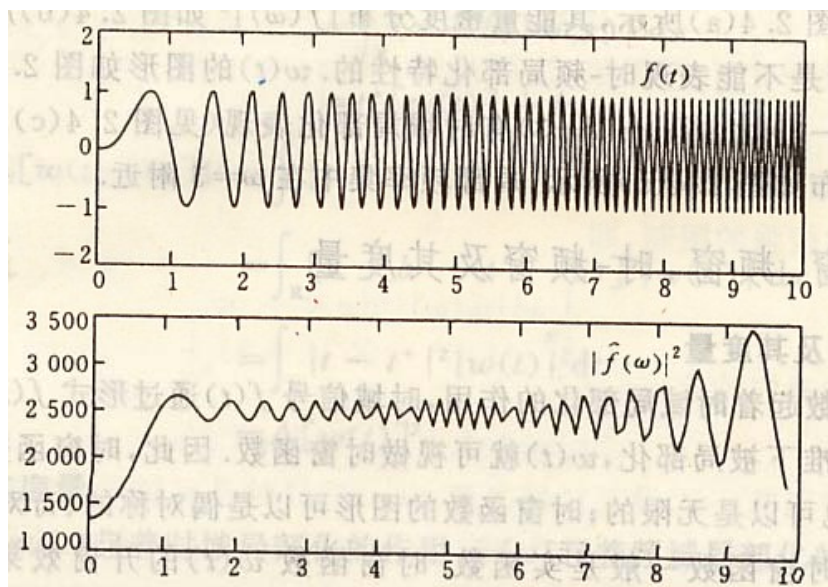
时间-频率窗: $\left[t^* + b - \Delta_g, t^* + b + \Delta_g \right] \times \left[\omega^* + \omega - \Delta_{\hat{g}}, \omega^* + \omega + \Delta_{\hat{g}} \right]$

特性: 不变的宽度 $2\Delta_g$ 和固定的窗面积 $4\Delta_g \Delta_{\hat{g}}$

短时Fourier变换在Fourier分析的基础上取得了本质的进步。用短时Fourier变换分析信号时可以在时频窗这个局部范围内观察, 时频窗面积反映了时频局部化的程度。是否可以选某个窗函数, 能使时频窗面积充分小呢?

测不准原理: $\Delta_g \Delta_{\hat{g}} \geq \frac{1}{2}$
当窗口函数 g 取高斯函数时, 时间频率窗的面积最小。这时, 相应的短时

Fourier变换称为Gabor变换。



短时Fourier变换的局限性

- 固定的窗口形状
若用同一窗宽分析同一信号的不同时段，则有时合适，有时不合适；若通过选择不同的窗函数调整窗宽来分析同一信号的不同时段，则显得很麻烦。
- 在实际应用中，选择某个窗函数，希望其时-频窗形状是自适应变化的，对低频信号，其窗口形状自动变得扁平；对高频信号，其窗口形状自动变得瘦长。短时Fourier变换难以满足这方面的要求。

应用上的局限性：不太适合分析非平稳信号。

小波时频分析

小波分析能够提供一个随频率改变的时间-频率窗口。

假设 ψ 是任一基本小波，并且 ψ 与 $\hat{\psi}$ 都是窗函数，它们的中心与半径分别为 t^* , ω^* , Δ_ψ 和 $\Delta_{\hat{\psi}}$ 。不妨设 ω^* 和尺度 a 都是正数。

先考察 ψ 的衰减性：

作为基本小波，要求 $|\psi(t)| \leq c(1+|t|)^{-1-\varepsilon}$, $\varepsilon > 0$

作为窗口函数，要求

当 $|t| \rightarrow +\infty$ 时， $|\psi(t)|$ 的衰减速度应比 $1/|t|^{3/2}$ 快。

当 $|\omega| \rightarrow +\infty$ 时， $|\hat{\psi}(\omega)|$ 的衰减速度应比 $1/|\omega|^{3/2}$ 快。

考察 $\psi_{a,b}$ 的时频特性:

$$S_f(\omega, b) = \langle f, W_{\omega, b} \rangle = \int_{-\infty}^{+\infty} f(t) W_{\omega, b}^*(t) dt$$

其中, $W_{\omega, b}(t) = e^{i\omega t} g(t-b)$. 把 $W_{\omega, b}$ 看做能对 $f(t)$ 在时域和频域都能起限制作用的窗函数。

$$WT_f(a, b) = \langle f, \psi_{a, b} \rangle = \int_{-\infty}^{+\infty} f(t) \psi_{a, b}^* dt$$

$$\psi_{a, b}(t) = \frac{1}{\sqrt{a}} \psi\left(\frac{t-b}{a}\right), a > 0$$

小波函数 $\psi_{a, b}$ 的定义中, 虽然没有将频率 ω 小波函作为参数,

但它将频率隐含在尺度因子 a 之中。与 $W_{\omega, b}$ 有相似的作用, 但具有更好的时频分析性能。

考察 $\psi_{a,b}$ 的时频特性:

时窗函数 $\psi_{a,b}$ 的中心与半径分别为 $b + at^*$ 和 $a\Delta_\psi$ 。

频窗函数 $\hat{\psi}_{a,b}$ 的中心与半径分别为 ω^* / a 和 $\Delta_{\hat{\psi}} / a$ 。

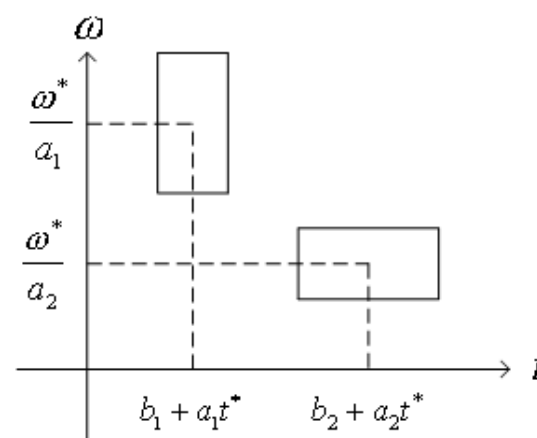
因此, 小波窗函数的时域局部化被限制在时窗区间 $[b + at^* - a\Delta_\psi, b + at^* + a\Delta_\psi]$

它的频域局部化被限制在频窗区间 $\left[\frac{\omega^*}{a} - \frac{\Delta_{\hat{\psi}}}{a}, \frac{\omega^*}{a} + \frac{\Delta_{\hat{\psi}}}{a}\right]$

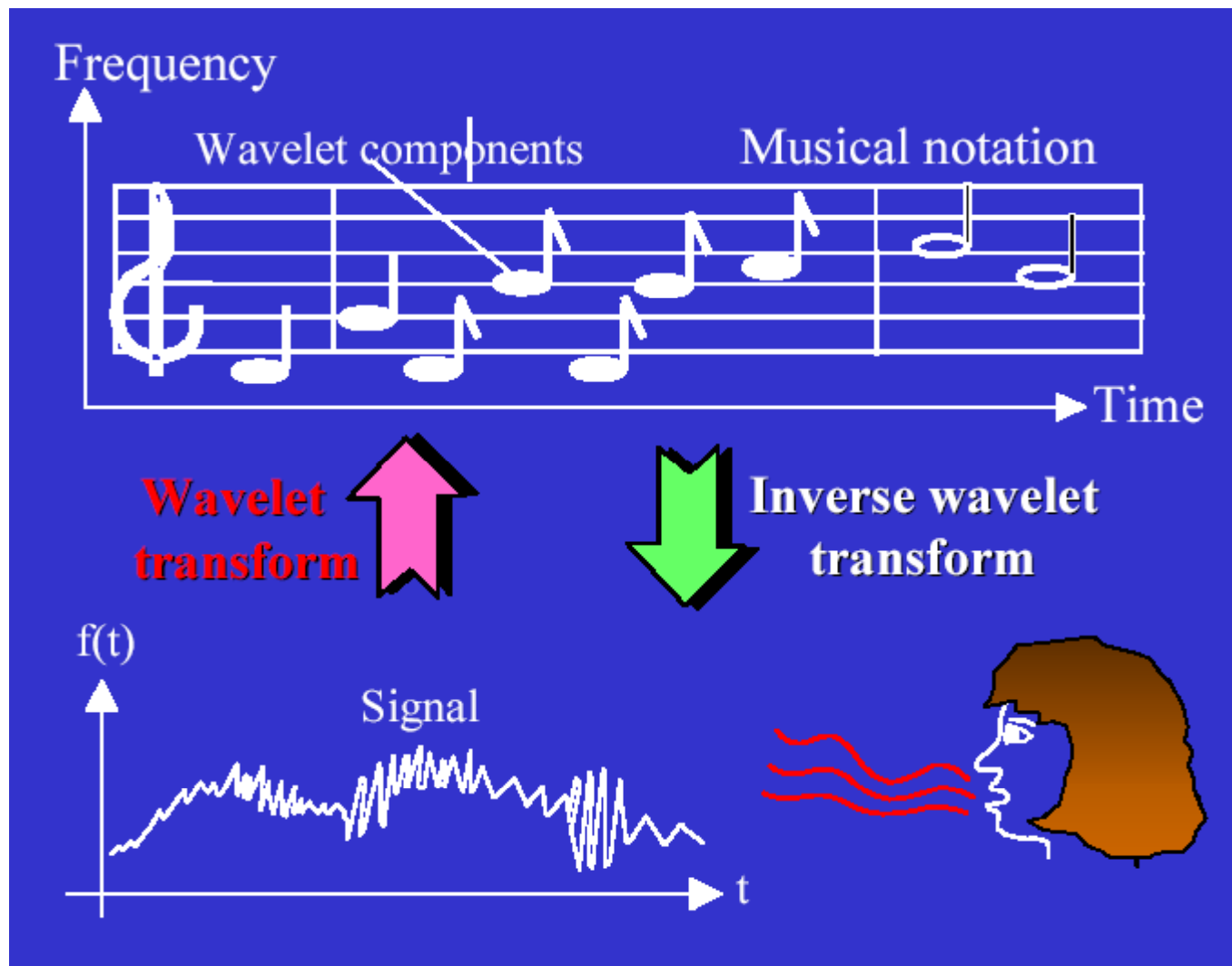
若用 ω^* / a 作为频率变量 ω , 则 $WT_f(a,b)$ 给出了信号在时间—频率平面 ($t - \omega$ 平面) 中一个矩形的时间—频率窗

$$\left[b + at^* - a\Delta_\psi, b + at^* + a\Delta_\psi\right] \times \left[\frac{\omega^*}{a} - \frac{\Delta_{\hat{\psi}}}{a}, \frac{\omega^*}{a} + \frac{\Delta_{\hat{\psi}}}{a}\right]$$

内的局部化信息, 即小波变换具有时—频局部化特征。



时-频窗中心: $(b + at^*, \omega^* / a)$ 窗宽: $2a\Delta_\psi$ 窗高: $2\Delta_{\hat{\psi}} / a$ 面积: $4\Delta_\psi \Delta_{\hat{\psi}}$

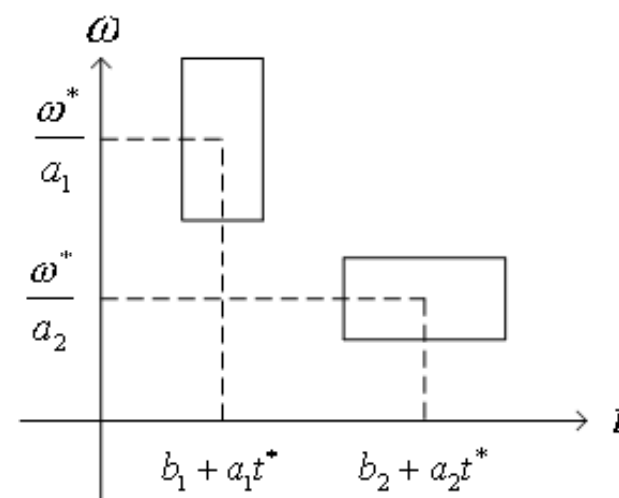


小波变换的时-频窗的自适应性

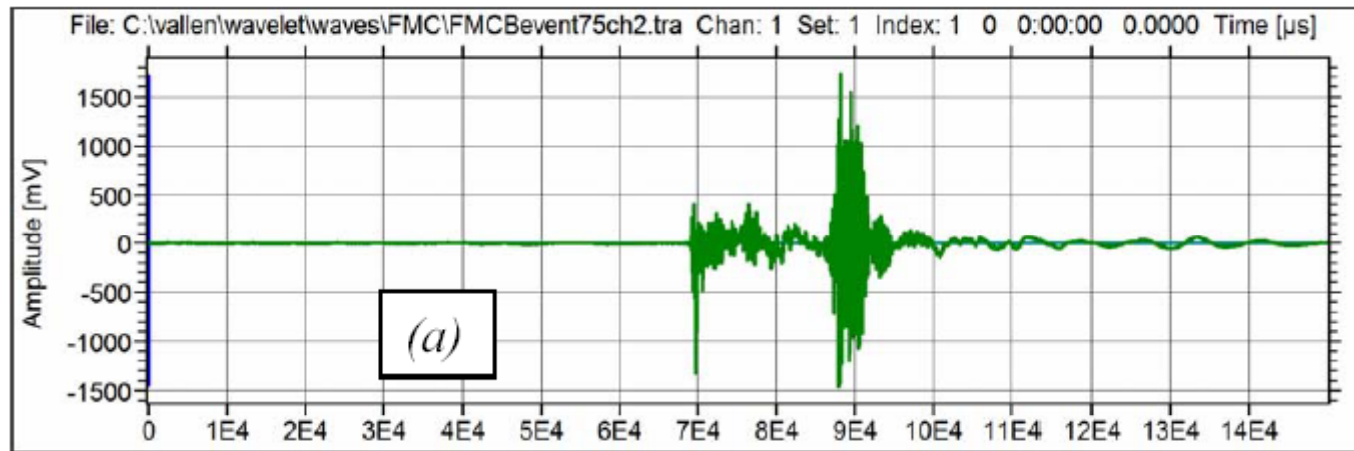
从小波窗函数 $\psi_{a,b}$ 参数选择方面看,

当 a 较小时, 频窗中心自动地调整到较高的频率中心的位置, 且时-频窗形状自动地变为“瘦窄”状; 因为高频信息在很短的时域范围内的幅值变化大, 频率含量高, 所以这种“瘦窄”时-频窗正符合高频信号的局部时-频特征。

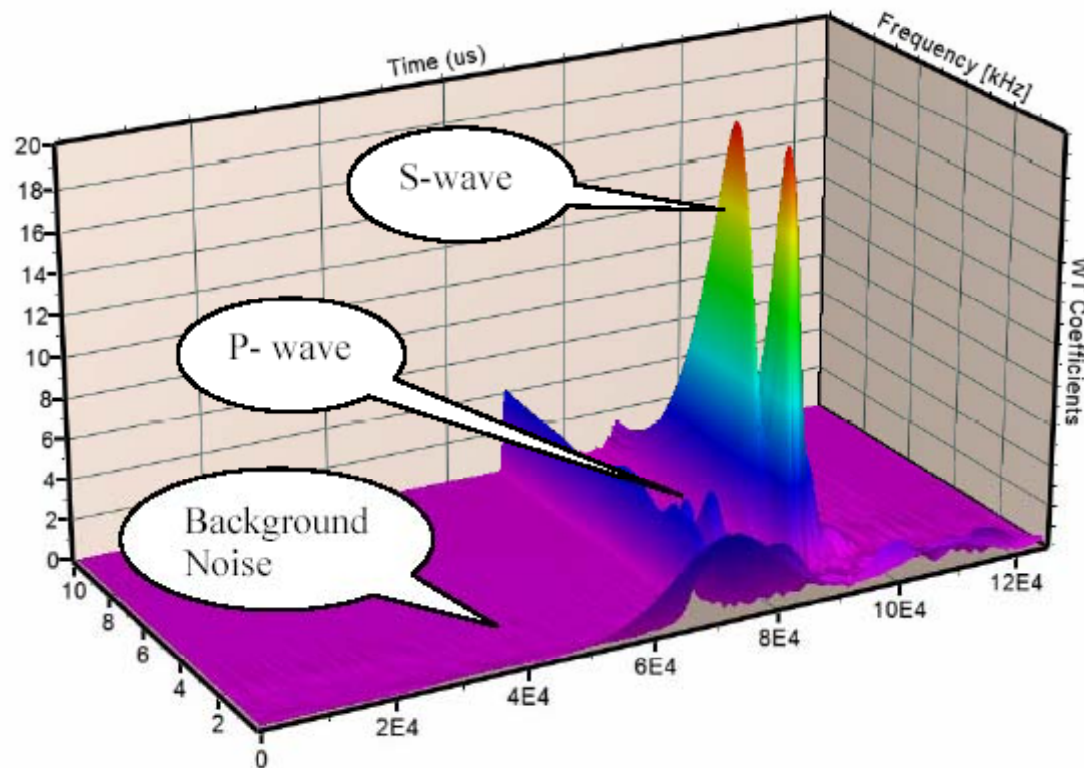
同样, 当 a 较大时, 时-频窗形状自动地变为“扁平”状, 它正符合低频信号的局部时-频特征。



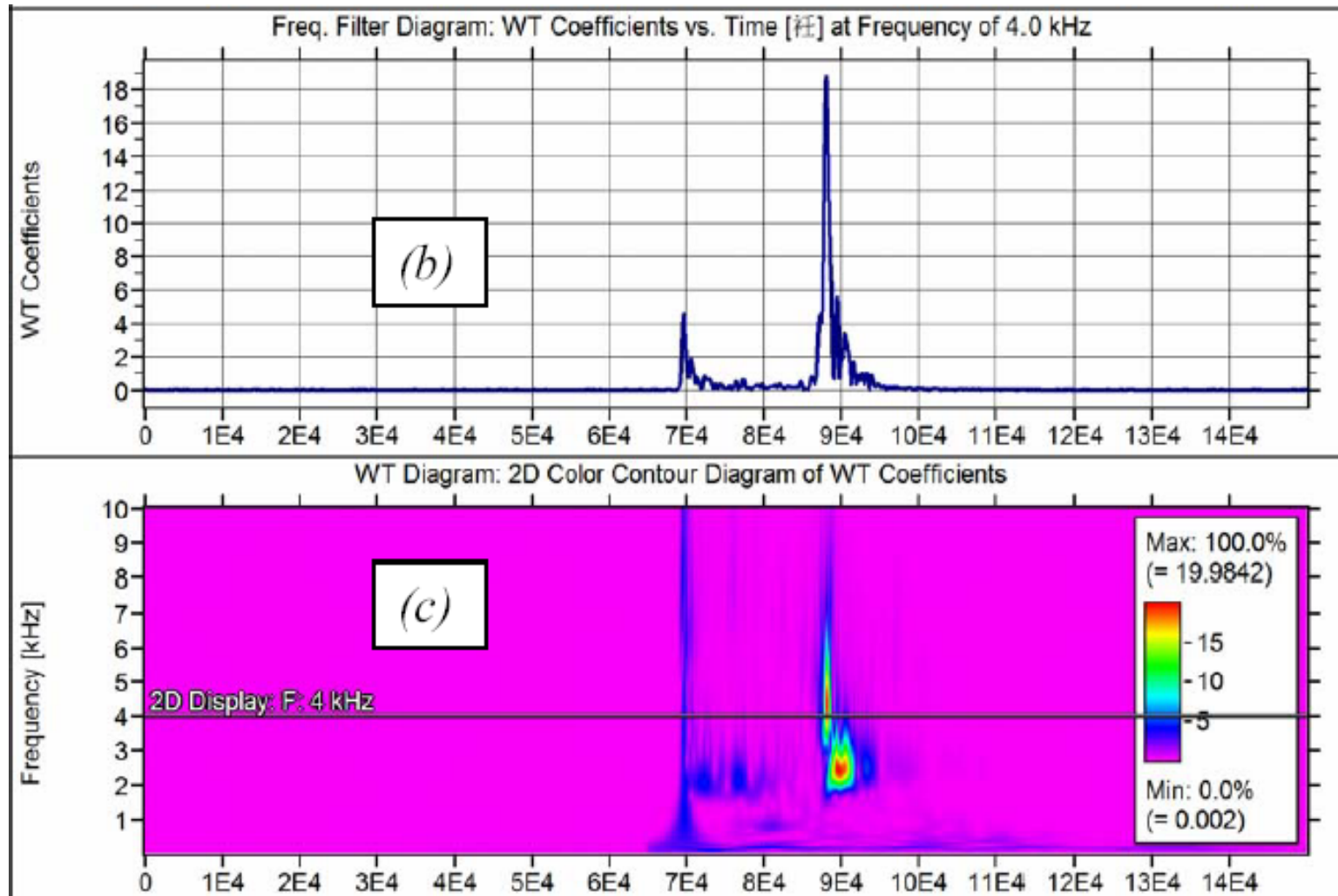
$$0 < a_1 < a_2$$



地震信号

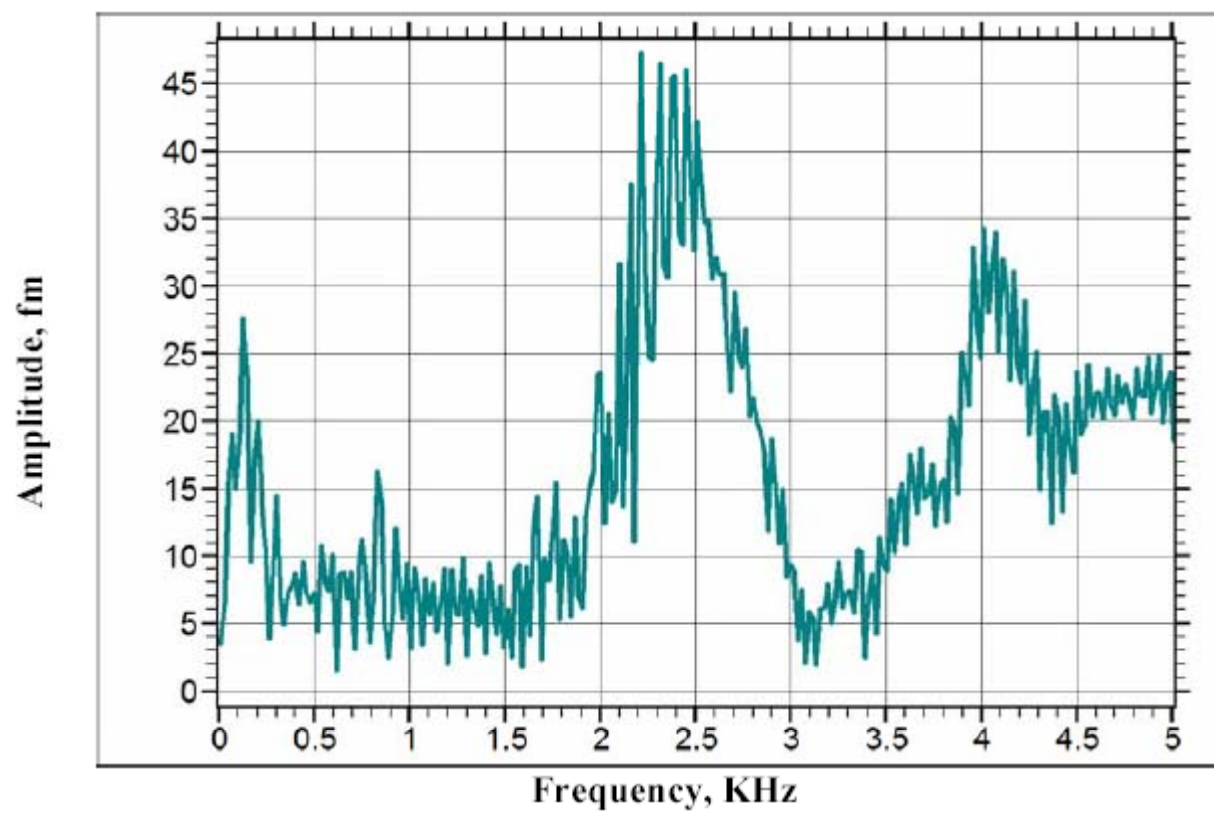


时频分析



(b): 某一频率(4KH)随时间变化的能量分布.

(c): 小波变换的另一种表示形式.



傅立叶变换

The WTs were calculated with AGU-Vallen Wavelet, a free software program.

AGU-Vallen Wavelet,

<http://www.vallen.de/wavelet/index.html> 2005

AGU-Vallen Wavelet is a tool which allows you to calculate and display the wavelet transform on individual waveforms.

AGU-Vallen Wavelet has been developed in collaboration between Vallen-Systeme GmbH and Aoyama Gakuin University (AGU), Tokyo, Japan. The AGU group has pioneered in the research of wavelet analysis in the field of **Acoustic Emission** and Vallen has actively generated software tools.

各种变换的比较

Fourier变换的特性

- 分解种类： 频率
- 分析函数： 正弦函数，余弦函数
- 变量： 频率
- 信息： 组成信号的频率
- 适应场合： 平稳信号
- 算法复杂度：

小波变换的特性

- 分解种类： 时间-尺度或时间-频率
- 分析函数： 具有固定震荡次数的时间有限的波。
小波函数的伸缩改变其窗口大小。
- 变量： 尺度，小波的位置
- 信息： 窄的小波提供好的时间局部化及差的频率局部化，宽的小波提供好的频率局部化及差的时间局部化。
- 适应场合： 非平稳信号

短时Fourier变换的特性

- 分解种类： 时间-频率
- 分析函数： 由三角震荡函数复合而成的时间有限的波
- 变量： 频率，窗口的位置
- 信息： 窗口越小，时间局部化越好，其结果是滤掉低频成分；
窗口越大，频率局部化越好，此时时间局部化较差。
- 适应场合： 次稳定信号

离散小波分解所表现的局部时频分析方法

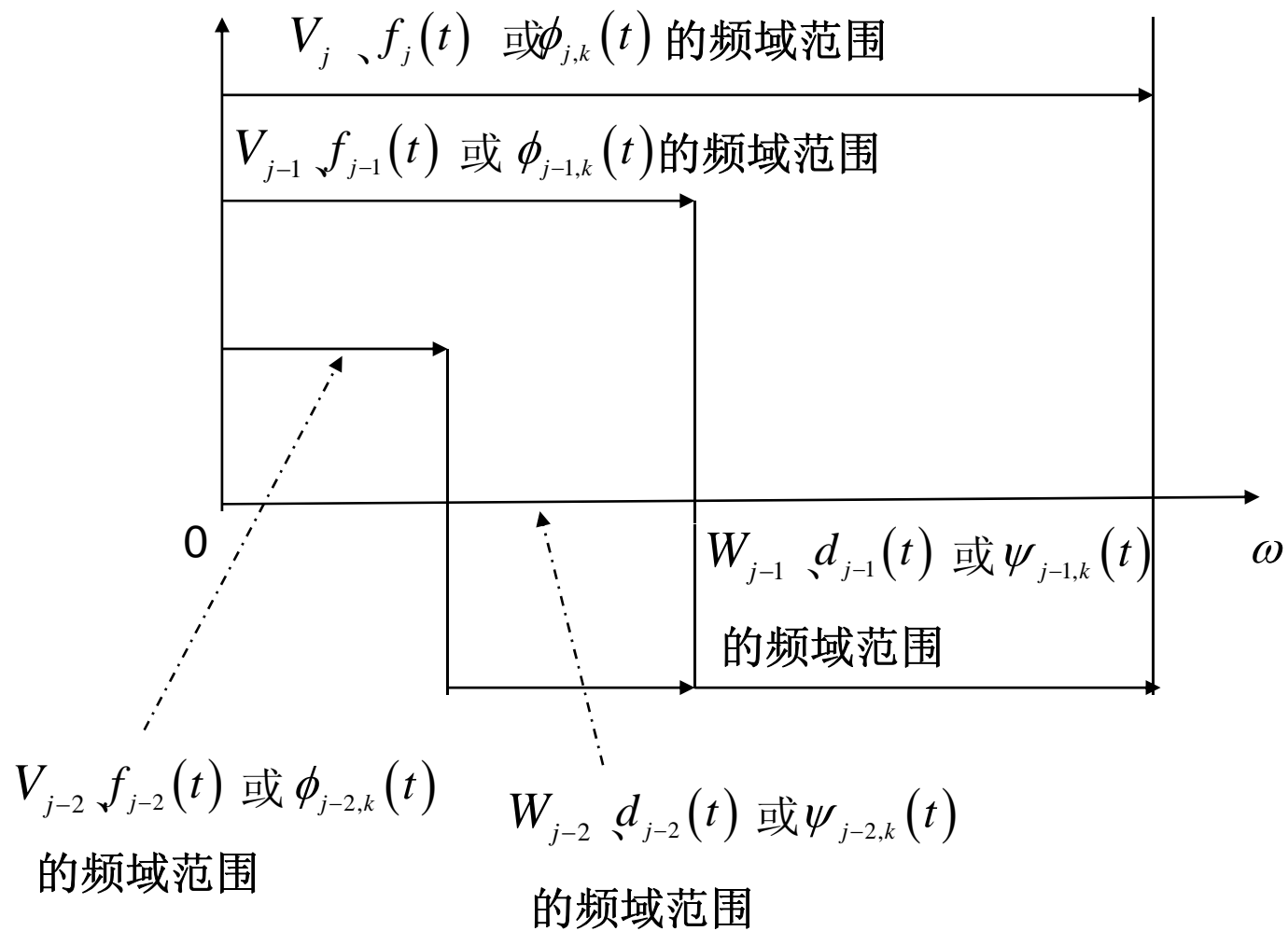
$$\begin{aligned} V_j &= V_{j-1} \oplus W_{j-1} & f_j(t) &= \sum_k c_k^j \phi_{j,k}(t), c_k^j = \langle f, \phi_{j,k} \rangle \\ f_j(t) &= f_{j-1}(t) + d_{j-1}(t) & f_{j-1}(t) &= \sum_k c_k^{j-1} \phi_{j-1,k}(t), c_k^{j-1} = \langle f, \phi_{j-1,k} \rangle \\ f_j(t) &= P_j f(t) & d_{j-1}(t) &= \sum_k d_k^{j-1} \psi_{j-1,k}(t), d_k^{j-1} = \langle f, \psi_{j-1,k} \rangle \end{aligned}$$

1. $f_j(t)$ 可看做有限频宽的函数, $\phi_{j,k}$ 的平移指标不影响其频域范围.

因此, $\phi_{j,k}(t)$ 是频率范围同于 $f_j(t)$ 的低通滤波器.

2. $\phi_{j-1,k}(t)$ 的频宽是 $\phi_{j,k}(t)$ 的频宽的一半, 因此 $f_{j-1}(t)$ 的频宽仅是 $f_j(t)$ 频宽的一半(低频). $f_j(t)$ 频宽的另一半(高频)是由 $d_{j-1}(t)$ 表现.

$d_{j-1}(t) = \sum_k d_k^{j-1} \psi_{j-1,k}(t)$ 的 $\psi_{j-1,k}$ 是带通滤波器函数.



$$L^2(R) = \oplus_{j \in \mathbb{Z}} W_j \quad f(t) = \oplus_{j \in \mathbb{Z}} d_j(t)$$

MRA所确定的小波子空间分解关系 $L^2(R) = \oplus_{j \in \mathbb{Z}} W_j$ 表明，任一信号 $f(t) \in L^2(R)$ 的频域被分隔为若干互不重叠的子频带的直和。也即，

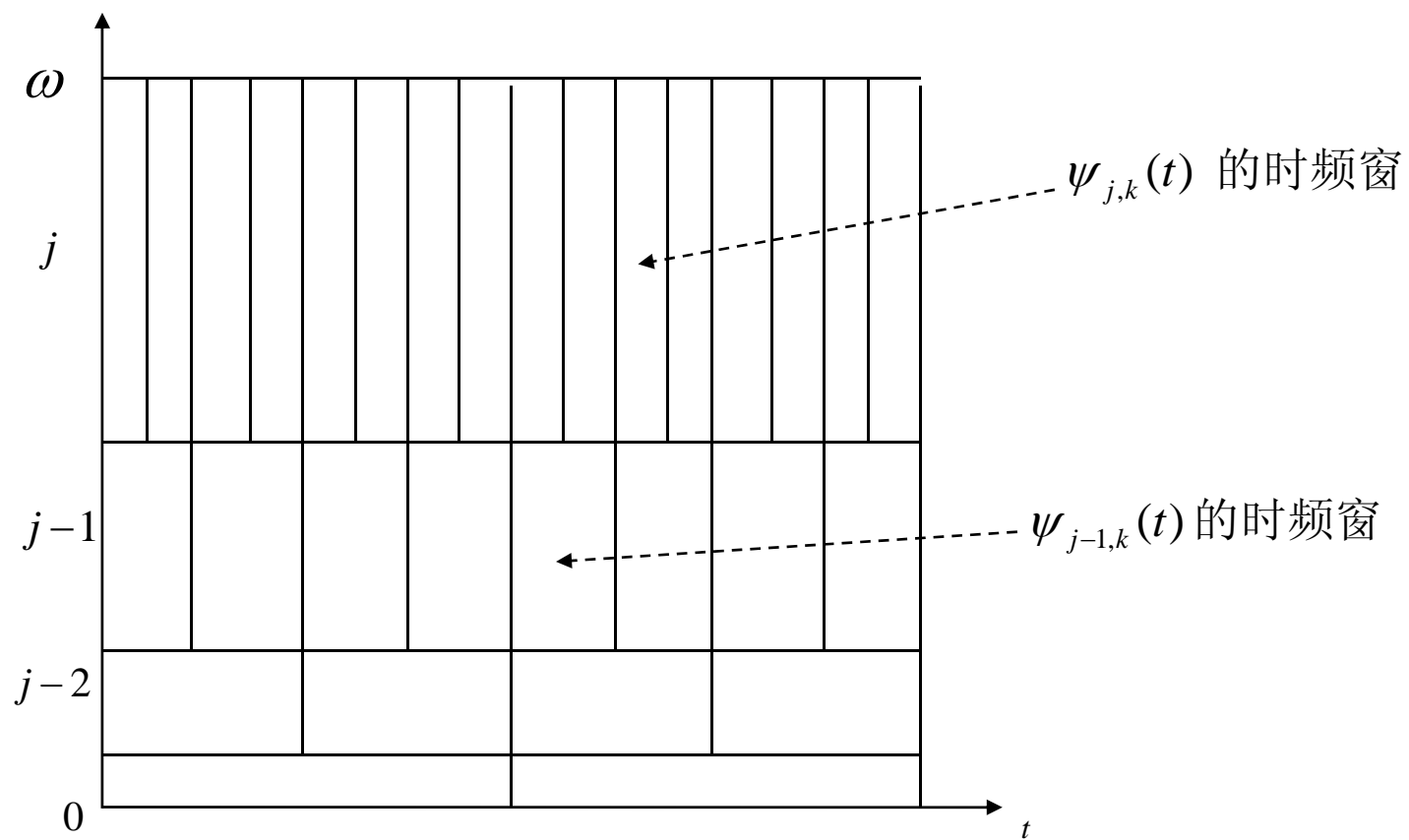
在MRA框架下，能量有限信号 $f(t)$ 可分解成表示不同频率子带的小波分量 $d_j(t)$ 的直和。通过对小波分量 $d_j(t)$ 的分析来

达到局部时频分析的目的。

$$d_j(t) = \sum_{k \in \mathbb{Z}} d_k^j \psi_{j,k}(t) \quad d_k^j = \langle f, \psi_{j,k}(t) \rangle \quad \sum_k \sum_j |d_k^j|^2 < \infty$$

$d_k^j = \langle f, \psi_{j,k}(t) \rangle$ 可理解为将 f 限制在由 $\psi_{j,k}(t)$ 所决定的子频带内。

这表明，实际上是通过离散数据 $\{d_k^j\}$ 的分析达到局部时频分析的目的。



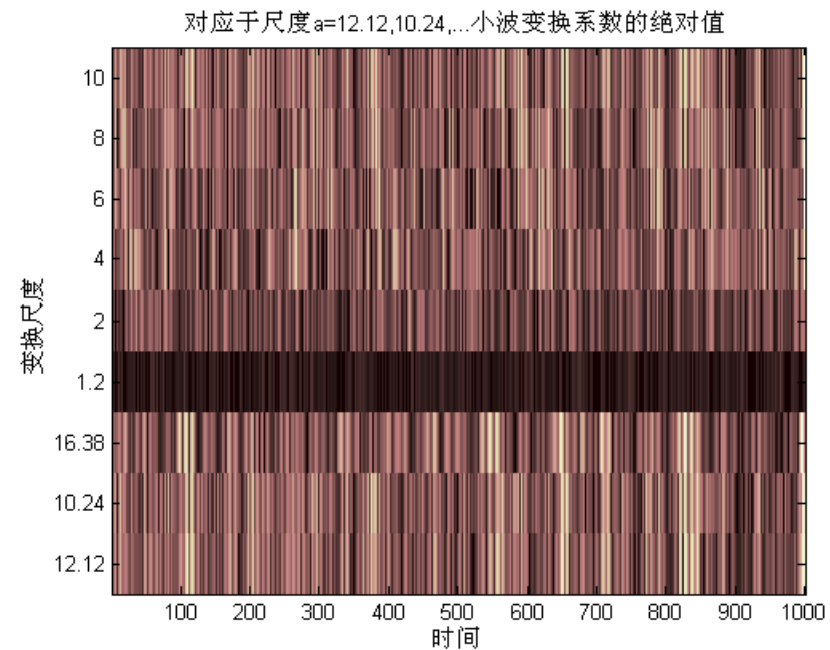
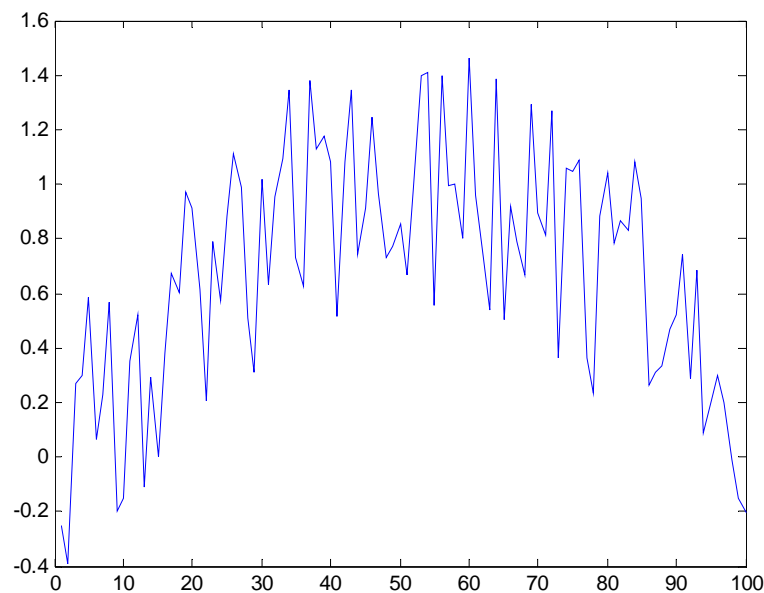
离散小波分解自适应时-频窗示意图

连续小波变换的计算

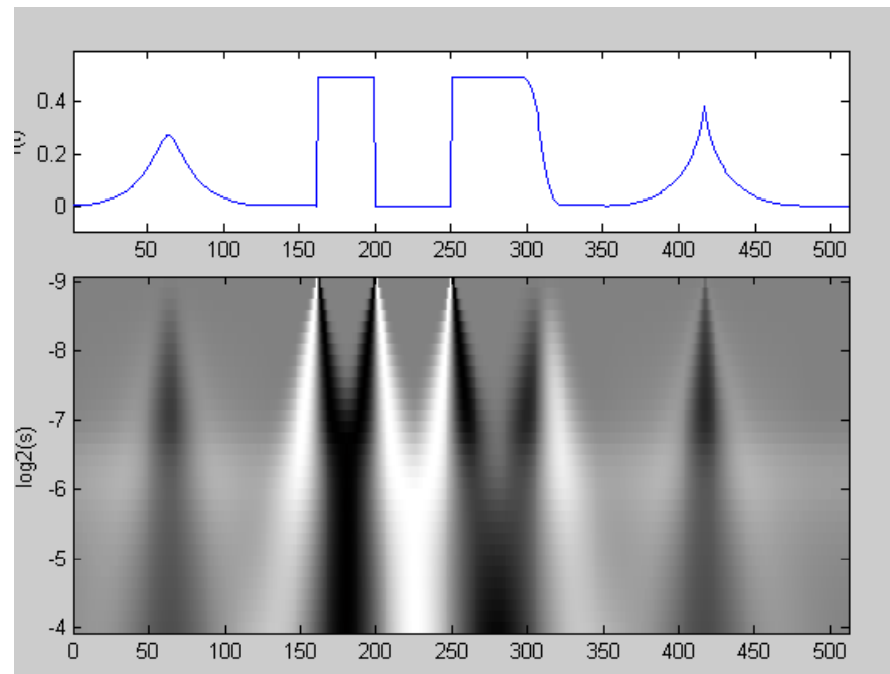
数值近似积分法、快速算法（包括Mellin算法，斜交投影算法等）

在Matlab小波工具箱中，用cwt（）函数计算连续小波变换。

连续小波变换的结果的显示方式： 灰度表示，三维表示

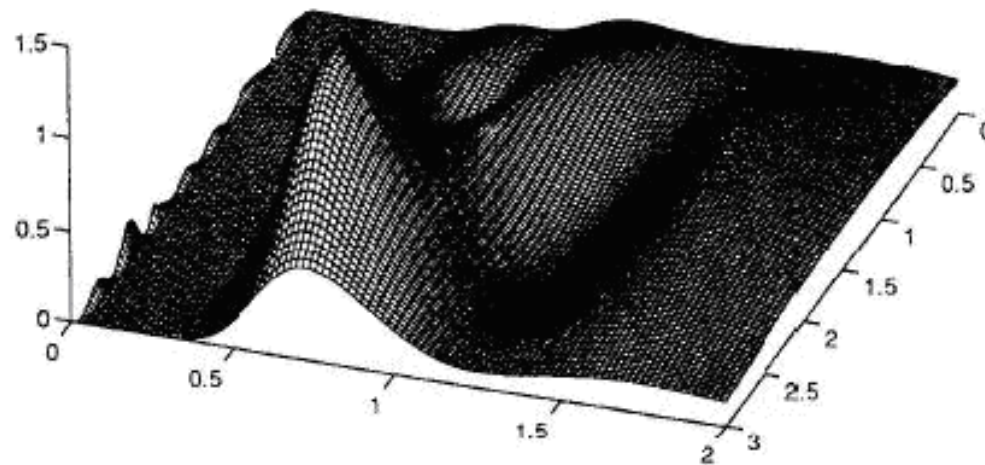


用小波变换的模显示：颜色越深，系数模越大



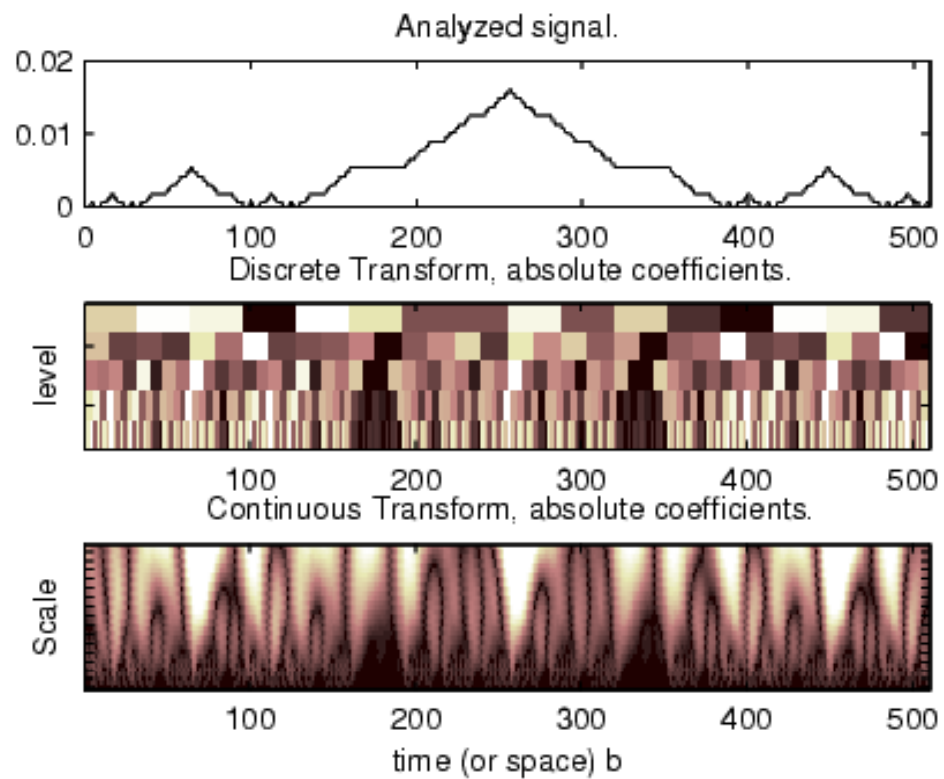
高斯小波. 黑、灰、白点分别对应于正的、零、以及负的小波系数。

$$f(t) = \begin{cases} \sin(5.89t), & 0 \leq t \leq 1 \\ \sin(8.83t), & 1 \leq t \leq 2 \\ \sin(5.89t) + \sin(8.83t), & 2 \leq t \leq 3 \\ 0, & t > 3 \end{cases}$$



在**Matlab**中，如何将**cwt()**的计算结果用网格形式显示？

连续小波变换与离散小波变换在分析信号时的优缺点



2, 4, 8, 16, 32

1, 2, ..., 32

小波变换的分类

$\psi_{a,b}(t)$ 中 a, b, t 三个变量均为连续变量，通过对它们施加不同的离散化条件对小波及小波变换进行分类。下面介绍两种最重要的分类：

离散小波及离散（参数）小波变换： 只对**a,b**离散化

二进小波及二进小波变换： 只对**a**离散化

离散小波及离散（参数）小波变换

令参数 $a = 2^{-j}$, $b = k2^{-j}$, 其中 $j, k \in \mathbb{Z}$, 则离散（参数）小波为:

$$\psi_{2^{-j}, k2^{-j}}(t) = 2^{j/2} \psi(2^j t - k)$$

在这种情况下, 常用 $\psi_{j,k}(t)$ 记 $\psi_{2^{-j}, k2^{-j}}$, 即

$$\psi_{j,k}(t) = 2^{j/2} \psi(2^j t - k)$$

相应于离散小波 $\psi_{j,k}(t)$ 的离散（参数）小波变换为:

$$WT_f(j, k) := \langle f, \psi_{j,k} \rangle$$

离散小波及离散（参数）小波变换

重构问题： $\psi(t)$ 满足什么条件下，可以由离散小波变换 $\left\{ \langle f, \psi_{j,k} \rangle \right\}_{j,k \in \mathbb{Z}}$ 重构原信号？

稳定性条件：

$$A\|f\|^2 \leq \sum_j \sum_k \left| \langle f, \psi_{j,k} \rangle \right|^2 \leq B\|f\|^2$$
$$0 < A \leq B < \infty$$

当**A=B=1**，相应的小波为正交小波；相应的小波变换为正交小波变换。

可以验证，离散（参数）小波变换不具有平移不变性（习题**6.4**）。

离散小波及离散（参数）小波变换的进一步讨论

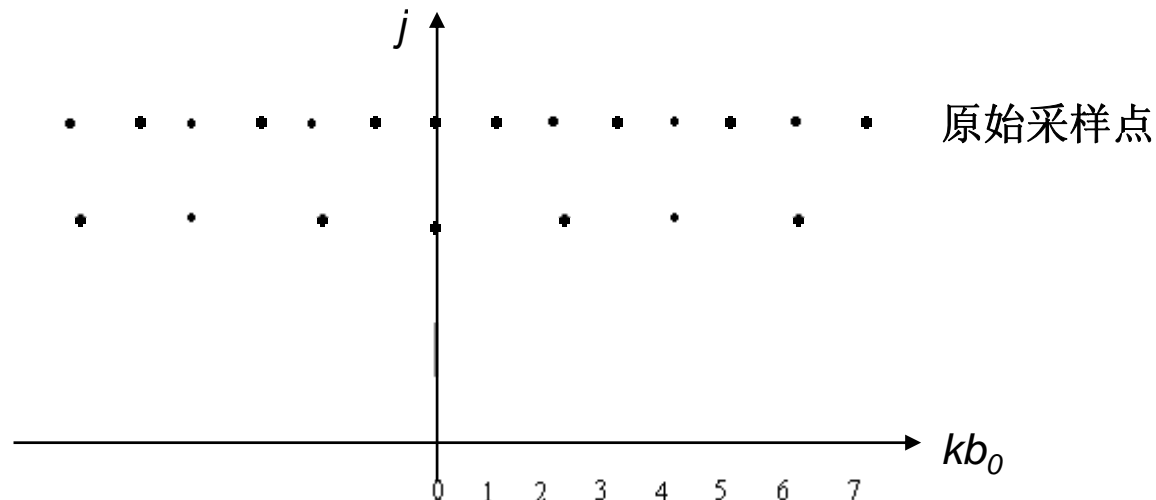
尺度离散化:

实际工作中最常见的情况是,将尺度 a 按照二进尺度离散化,此时 a 取值为

$$a = 2^{-j}, j = J, J-1, \dots, 0$$

位移离散化:

当 $a=2^{-J}$ (也就是 $j=J$ 时), b 可以某一基本间隔 b_0 做均匀采样. b_0 应适当选择使信息仍能覆盖全 b 轴而不丢失(如不低于Nyquist采样率). 每经过一次小波变换, 其采样间隔扩大一倍, 即对于分辨率 j , b 以采样间隔 $2^{J-j} b_0$ 做均匀采样, 由此可见此时 a - b 平面内的采样点如下图所示.



从高分辨到低分辨
从小尺度到大尺度

离散小波及离散（参数）小波变换的进一步讨论

$$\psi_{a,b}(t) = 2^{j/2} \psi(2^j t - kb_0), \text{ 若 } \mathbf{b_0=1}, \text{ 则}$$

$$\psi_{j,k}(t) = 2^{j/2} \psi(2^j t - k)$$

二进小波及二进小波变换

在连续小波变换中，令参数 $a = 2^j$, $j \in \mathbb{Z}$ ，而参数 b 仍取连续值。

则有二进小波：

$$\psi_{2^j, b}(t) = 2^{-j/2} \psi \left[2^{-j}(t - b) \right]$$

这时， $f(t) \in L^2(\mathbb{R})$ 的二进小波变换定义为：

$$WT_f(2^j, b) = 2^{-j/2} \int_{-\infty}^{+\infty} f(t) \psi^* \left[2^{-j}(t - b) \right] dt$$

重构问题： $\psi(t)$ 在满足什么条件下，可以由二进小波变换

$\{WT_f(2^j, b) \mid j \in \mathbb{Z}, b \in \mathbb{R}\}$ 重构原信号？

重要性质： 二进小波变换仍具有连续小波变换的平移不变性。